

Маломодовая модель геодинамо*

Г. М. Водинчар^{1,2}, Л. К. Крутьева¹

¹Институт космофизических исследований и распространения радиоволн ДВО РАН,
п. Паратунка Камчатского края, Россия

²Камчатский государственный университет им. Витуса Беринга,
Петропавловск-Камчатский, Россия

e-mail: gvodinchar@yandex.ru, kruteva_lu@mail.ru

Построена маломодовая модель геодинамо, структура полоидального поля скоростей которой согласована с данными о распределении плотности в жидким ядре Земли. Модель включает две компоненты температуры, одну полоидальную компоненту скорости и две тороидальные, моделирующие кориолисов эффект. Магнитное поле представлено основным диполем и шестью модами, структурно согласованными с модами скорости. Показано, что при параметрах ядра, принятых в теории геодинамо, в данной модели поддерживается магнитное поле, дипольная компонента которого близка по величине к реальной дипольной компоненте геомагнитного поля.

Ключевые слова: конвекция, тороидальные и полоидальные поля, ядро Земли, геодинамо.

Введение

Исследование вопросов формирования геомагнитного поля является одним из наиболее интенсивно развивающихся направлений геофизики, тем более, что работы в этой области имеют пересечение с проблемами космического магнетизма, задачами космической астрофизики. Обзоры постоянно увеличивающегося числа исследований данного направления приведены, например, в [1, 2]. В настоящее время практически общепризнанной для геомагнетизма и космического магнетизма является теория динамо. В этой теории достигнут огромный прогресс, однако нельзя считать, что задача формирования и поддержания геомагнитного поля полностью решена. На сегодня нет модели, которая объясняла бы все наблюдаемые свойства поля.

Одним из ключевых для геодинамо является вопрос о структуре конвективных течений в жидким ядре. Косвенную информацию об этой структуре можно получить из данных о неоднородностях в плотности жидкого ядра. В [3] проанализированы результаты ряда работ по splitting-функциям собственных колебаний Земли, в которых получены срезы распределения плотности на различных глубинах. Вариации плотности на глубине 3900 км, соответствующие splitting-функции жидкого ядра, приведенные в [3], представлены на рис. 1. Здесь прослеживается четкая 12-зонная шахматная структура. Автором работы [3] на основе этих данных была высказана гипотеза о соответствующей структуре конвекции, где в шести областях материал ядра “тонет”, а в шести — “всплывает”.

*Работа выполнена при финансовой поддержке ДВО РАН (проект 10-III-B-07-158).

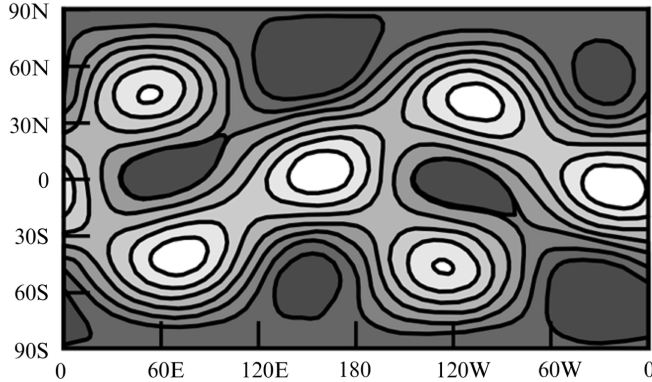


Рис. 1. Портрет splitting-функции для моды $11S_4$ собственных колебаний Земли из работы [3]. Черный цвет — плотность вещества на 0.2 % выше средней, белый — на 0.2 % ниже средней. По горизонтальной оси — градусы долготы, по вертикальной — широты

В [4] исследовалась возможность существования конвекции с подобной структурой без учета магнитного поля. Было показано, что при общепринятых значениях физических параметров ядра эта конвекция может поддерживаться в ядре. В настоящей работе изучается вопрос о том, может ли подобная структура конвекции поддерживать магнитное поле дипольного типа, близкое по величине к наблюдаемому, а также будут ли характерные значения скорости согласовываться с имеющимися оценками [5].

1. Формулировка краевой задачи геодинамо

Рассмотрим вращающуюся вместе с Землей с угловой скоростью Ω систему координат, начало которой расположено в центре Земли, а ось Oz проходит через Северный полюс. Обозначим через \mathbf{v} , \mathbf{B} и P поля скорости, магнитной индукции и давления. Поле температуры внешнего ядра представим в виде $T + T_s$, где T_s — стационарное распределение температуры, соответствующее теплопередаче в виде чистой теплопроводности, T — отклонение от этого распределения.

Будем использовать следующие упрощающие предположения: вещество внешнего ядра несжимаемое, относительная магнитная проницаемость всего пространства $\mu = 1$, вариации плотности внешнего ядра относительно среднего значения ρ_0 малы, кинематическая вязкость ν и температуропроводность k внешнего ядра, а также магнитная вязкость ν_m всего ядра постоянны. Среду за пределами ядра считаем непроводящей, что приводит к потенциальности поля \mathbf{B} в этой области. Температура на внутренней r_1 и внешней $r_2 = r_1 + h$ границах жидкого ядра сохраняет постоянные значения T_1 и $T_2 = T_1 - \delta T$. Эти предположения являются обычными при постановке задач геодинамо [1, 2]. Будем также считать скорость поля \mathbf{v} за пределами внешнего ядра нулевой, т. е. в рассматриваемой модели отсутствует явление супервращения внутреннего ядра. Тогда уравнения динамо записываются в приближении Буссинеска в виде [1]

$$\begin{aligned} \frac{\partial \mathbf{v}}{\partial t} + (\mathbf{v} \nabla) \mathbf{v} &= \nu \Delta \mathbf{v} - \frac{1}{\rho_0} \nabla P + \beta \frac{g_2}{r_2} T \mathbf{r} - 2(\Omega \times \mathbf{v}) + \frac{1}{\mu_0 \rho_0} \text{rot} \mathbf{B} \times \mathbf{B}, \\ \frac{\partial T}{\partial t} + (\mathbf{v} \nabla)(T + T_s) &= k \Delta T, \quad \frac{\partial \mathbf{B}}{\partial t} = \text{rot}(\mathbf{v} \times \mathbf{B}) + \nu_m \Delta \mathbf{B}, \\ \nabla \cdot \mathbf{v} &= 0, \quad \nabla \cdot \mathbf{B} = 0. \end{aligned} \tag{1}$$

Здесь g_2 — ускорение свободного падения на границе ядра, β — коэффициент объемного теплового расширения внешнего ядра, μ_0 — магнитная постоянная.

Известно, что стационарное решение уравнения теплопроводности в сферической оболочке с граничными условиями $T_s(r = r_1) = T_1$ и $T_s(r = r_2) = T_2$ имеет гиперболический по радиусу профиль $T_s = \frac{r_2 \delta T}{h} \left(\frac{r_1}{r} - 1 \right) + T_1$.

Если в качестве единиц измерения расстояния, скорости, времени, давления, температуры и магнитной индукции принять величины $h, \nu/h, h^2/\nu, \rho_0 \nu^2/h^2, \delta T$ и $\nu \sqrt{\mu_0 \rho_0}/h$ соответственно, то уравнения (1) в безразмерных переменных запишутся в следующем виде (обозначения переменных сохранены):

$$\begin{aligned} \frac{\partial \mathbf{v}}{\partial t} + (\mathbf{v} \nabla) \mathbf{v} &= \Delta \mathbf{v} - \nabla P + \text{Ra} \text{Pr}^{-1} \frac{Tr}{r_2} \mathbf{e}_r - \tau (\mathbf{e}_z \times \mathbf{v}) + \text{rot} \mathbf{B} \times \mathbf{B}, \\ \frac{\partial T}{\partial t} + (\mathbf{v} \nabla) T - r_1 r_2 \frac{v_r}{r^2} &= \text{Pr}^{-1} \Delta T, \quad \frac{\partial \mathbf{B}}{\partial t} = \text{rot} (\mathbf{v} \times \mathbf{B}) + q^{-1} \text{Pr}^{-1} \Delta \mathbf{B}, \\ \nabla \mathbf{v} &= 0, \quad \nabla \mathbf{B} = 0. \end{aligned} \quad (2)$$

Управляющими параметрами модели являются: число Релея $\text{Ra} = \delta T g_2 h^3 \beta / (\nu k)$, число Прандтля $\text{Pr} = \nu/k$, число Кориолиса $\tau = 2h^2 \Omega / \nu$, число Робертса $q = k / \nu_m$.

Для исключения поля давления возьмем ротор от обеих частей первого уравнения системы (2), учитывая, что $(\mathbf{v} \nabla) \mathbf{v} = (1/2) \text{grad} \mathbf{v}^2 - \mathbf{v} \times \text{rot} \mathbf{v}$. Получим

$$\begin{aligned} \text{rot} \frac{\partial \mathbf{v}}{\partial t} - \text{rot} (\mathbf{v} \times \text{rot} \mathbf{v}) &= \text{rot} \Delta \mathbf{v} + \frac{\text{Ra}}{\text{Pr}} \text{rot} \left(\frac{Tr}{r_2} \mathbf{e}_r \right) - \tau \text{rot} (\mathbf{e}_z \times \mathbf{v}) + \text{rot} (\text{rot} \mathbf{B} \times \mathbf{B}), \\ \frac{\partial T}{\partial t} + (\mathbf{v} \nabla) T - r_1 r_2 \frac{\mathbf{v}_r}{r^2} &= \text{Pr}^{-1} \Delta T, \quad \frac{\partial \mathbf{B}}{\partial t} = \text{rot} (\mathbf{v} \times \mathbf{B}) + q^{-1} \text{Pr}^{-1} \Delta \mathbf{B}, \\ \nabla \mathbf{v} &= 0, \quad \nabla \mathbf{B} = 0. \end{aligned} \quad (3)$$

Систему (1) дополним однородными граничными условиями для температуры и условиями прилипания для скорости на внутренней и внешней границах жидкого ядра: $T(r = r_1) = T(r = r_2) = 0, \mathbf{v}(r = r_1) = \mathbf{v}(r = r_2) = 0$.

Рассмотрим теперь граничные условия для магнитного поля. Поскольку при $r \geq r_2$ поле потенциально, то в этой области $\mathbf{B} = -\text{grad} U$, где потенциал раскладывается в ряд по сферическим гармоникам

$$U = r_2 \sum_{n=1}^{\infty} \left(\frac{r}{r_2} \right)^{-(n+1)} \sum_{m=-n}^n A_n^m(t) Y_n^m(\theta, \varphi). \quad (4)$$

Тогда разложение для магнитного поля вне ядра будет иметь вид

$$\mathbf{B} = \sum_{n=1}^{\infty} \sum_{m=-n}^n A_n^m(t) \text{rot} \text{rot} \left(\frac{r_2}{n} \left(\frac{r}{r_2} \right)^{-(n+1)} Y_n^m(\theta, \varphi) \mathbf{r} \right). \quad (5)$$

В справедливости этого разложения можно убедиться непосредственным вычислением двойного ротора в формуле (5) и градиента выражения (4). Соленоидальное поле \mathbf{B} разлагается в сумму торoidalной и полоидальной составляющих, которые определяются соответственно как $\text{rot}(\Phi \mathbf{r})$ и $\text{rot} \text{rot}(\Psi \mathbf{r})$, где Φ и Ψ — некоторые скалярные

(производящие) функции. Тогда из (5) видно, что вне ядра магнитное поле является чисто полоидальным и разлагается в линейную комбинацию элементарных полоидальных компонент

$$\mathbf{B}_{nm}^{out} = \text{rot rot} \left(\frac{r_2}{n} \left(\frac{r}{r_2} \right)^{-(n+1)} Y_n^m(\theta, \varphi) \mathbf{r} \right). \quad (6)$$

Для магнитного поля внутри ядра также будем использовать разложения по сферическим функциям на тороидальные и полоидальные составляющие

$$\mathbf{B}_{nm}^T = \text{rot} (R_{nm}^T(r, t) Y_n^m(\theta, \varphi) \mathbf{r}) \text{ и } \mathbf{B}_{nm}^P = \text{rot rot} (R_{nm}^P(r, t) Y_n^m(\theta, \varphi) \mathbf{r}). \quad (7)$$

Вид функций $R_{nm}^T(r, t)$ и $R_{nm}^P(r, t)$ конкретизируем позже. Тогда для обеспечения непрерывности магнитного поля при переходе через границу ядра $r = r_2$ краевые условия примут следующий вид:

$$\begin{aligned} \mathbf{B}_{nm}^T(r = r_2) &= \mathbf{0}, \quad \text{rot } \mathbf{B}_{nm}^T(r = r_2) = \mathbf{0}, \\ \mathbf{B}_{nm}^P(r = r_2) \| \mathbf{B}_{nm}^{out}(r = r_2), \quad \text{rot } \mathbf{B}_{nm}^P(r = r_2) &= \mathbf{0}. \end{aligned} \quad (8)$$

2. Спектральное разложение полей

Для построения маломодовой модели геодинамо будем раскладывать поля температуры, скорости и индукции по собственным полям спектральных задач, связанных с оператором Лапласа. Температуру представим в виде $T = \sum_{k,n,m} {}_k\alpha_{nm}(t) {}_k\Theta_{nm}(r, \theta, \varphi)$, где

${}_k\Theta_{nm}$ — собственные функции оператора Лапласа, нулевые при $r = r_{1,2}$. Тороидальную составляющую поля скорости запишем в виде $\mathbf{v} = \sum_{k,n,m} {}_k\beta_{nm}^T(t) {}_k\mathbf{v}_{nm}^T(r, \theta, \varphi)$, где ${}_k\mathbf{v}_{nm}^T =$

$\text{rot} (R_{kn}^T(r) Y_n^m(\theta, \varphi) \mathbf{r})$ — собственные поля векторного оператора Лапласа, удовлетворяющие условию прилипания при $r = r_{1,2}$. Наконец, полоидальную часть скорости представим в виде $\mathbf{v}_{nm}^P = \sum_{k,n,m} {}_k\beta_{nm}^P(t) {}_k\mathbf{v}_{nm}^P(r, \theta, \varphi)$, где ${}_k\mathbf{v}_{nm}^P = \text{rot rot} (R_{kn}^P(r) Y_n^m(\theta, \varphi) \mathbf{r})$ — собственные поля спектральной задачи $\text{rot } \Delta \mathbf{P} + \mu \text{rot} \mathbf{P} = 0$ в пространстве полоидальных полей, нулевых при $r = r_{1,2}$.

Строение функций ${}_k\Theta_{nm}$ описано в [6], построение полей ${}_k\mathbf{v}_{nm}^T$, ${}_k\mathbf{v}_{nm}^P$ выполнено в [4]. Компоненты (7) магнитного поля также будем раскладывать по полям задачи

$$\text{rot } \Delta \mathbf{B}_{nm} + \eta \text{rot} \mathbf{B}_{nm} = 0 \quad (9)$$

с соответствующими краевыми условиями. Верхний индекс из формулы (7) опускается, поскольку пока рассуждения носят общий характер для полей обоих типов. Разделяя радиальную и временную переменные, представим поля \mathbf{B}_{nm} в виде

$$\mathbf{B}_{nm} = \sum_k {}_k\gamma_{nm}(t) \text{rot} ({}_kR_{nm}(r) Y_n^m(\theta, \varphi) \mathbf{r}) = \sum_k {}_k\gamma_{nm}(t) {}_k\mathbf{B}_{nm}.$$

Здесь индекс $k = 0, 1, 2, \dots$ соответствует дискретизации спектра задачи (9) по радиальной переменной. В [4] показано, что функции ${}_kR_{nm}$ с учетом их ограниченности

в центре Земли имеют вид $(A_{kn}j_n(\sqrt{\eta_{kn}}r) + B_{kn}r^n)Y_n^m$, где $j_n(\cdot)$ — сферические функции Бесселя первого рода, коэффициенты A_{kn} и B_{kn} определяются из краевых условий с точностью до нормирующего множителя.

Далее рассмотрим поля разных типов отдельно. Краевые условия для тороидальных полей ${}_k\mathbf{B}_{nm}^T$ дают систему уравнений

$${}_kR_{nm}^{BT}(r_2) = \frac{d_kR_{nm}^{BT}}{dr}\Big|_{r=r_2} = 0 \quad (10)$$

для вычисления коэффициентов A_{kn} и B_{kn} . Условие нетривиальной разрешимости этой системы определяет для каждого n счетное множество собственных значений η_{kn}^T как решений уравнения

$$j_n(\sqrt{\eta_{kn}}r_2) nr_2^{n-1} - r_2^n \frac{dj_n(\sqrt{\eta_{kn}}r)}{dr}\Big|_{r=r_2} = 0.$$

После нахождения коэффициентов η_{kn}^T подставляем их в одно из уравнений системы (10), откуда получаем коэффициенты A_{kn} и B_{kn} с точностью до нормирующего множителя. Условие нормировки, соответствующее единичной безразмерной энергии, выделяемой полем ${}_k\mathbf{B}_{nm}^T$ во всем пространстве, выберем в виде

$$\int_{R^3} ({}_k\mathbf{B}_{nm}^T)^2 dV = \int_{r \leq r_2} ({}_k\mathbf{B}_{nm}^T)^2 dV = 1.$$

Для полоидальных полей краевое условие $\text{rot } \mathbf{B}_{nm}^P(r = r_2) = \mathbf{0}$ дает уравнение

$$\left(\frac{d^2}{dr^2} + \frac{2}{r} \frac{d}{dr} - \frac{n(n+1)}{r^2} \right) R_{kn}^{BP}|_{r=r_2} = 0, \quad (11)$$

а условие $\mathbf{B}_{nm}^P(r = r_2) \parallel \mathbf{B}_{nm}^{out}(r = r_2)$ приводит к формуле

$$\left(\frac{d}{dr} + \frac{n+1}{r} \right) R_{kn}^{BP}|_{r=r_2} = 0. \quad (12)$$

Аналогично случаю тороидальных полей условие ненулевой разрешимости системы (11)–(12) дает уравнения на собственные значения η_{kn}^P , подстановка которых в эту систему позволяет определить коэффициенты A_{kn} и B_{kn} с точностью до нормирующего множителя. Сам множитель находим из условия нормировки

$$\int_{R^3} ({}_k\mathbf{B}_{nm}^P)^2 dV = \int_0^{+\infty} \left[R_{kn}^{BP} \right]^2 n^2(n+1)^2 dr + \int_0^{+\infty} \left[\frac{R_{kn}^{BP}}{r} + \frac{dR_{kn}^{BP}}{dr} \right]^2 r^2 n(n+1) dr = 1. \quad (13)$$

Как и в предыдущем случае, это условие приводит к единичной энергии, выделяемой полем во всем пространстве. В левом интеграле формулы (13) интегрирование ведется по всему пространству, а правая часть формулы представляет собой результат аналитического интегрирования левой части по угловым переменным. При интегрировании по промежутку $r > r_2$ в (13) предполагается, что в этом промежутке

$$R_{kn}^{BP}(r) = R_{kn}^{BP}(r_2) \left(\frac{r}{r_2} \right)^{-(n+1)}.$$

Такое выражение накладывается непрерывным переходом \mathbf{B}_{nm}^P в \mathbf{B}_{nm}^{out} . Все вышеописанные расчеты базисных магнитных мод, связанные с решением уравнений на собственные значения, системы для коэффициентов, нормировками, проводились в пакете MAPLE 12. При этом интегрирование по угловым переменным выполнялось аналитически, а по радиальной — численно. Эти расчеты были проведены для $k = 0, 1, 2$ и $n = 1, \dots, 10$.

3. Построение маломодовой модели

Выполним отбор мод скорости, которые определят описанную во введении структуру течений с 12 чередующимися зонами поднятия и опускания вещества. В работе [4] показано, что подобная структура вертикальных течений описывается полоидальными компонентами $_k \mathbf{v}_{4,\pm 2}^P$. При этом крупномасштабная конвекция с транспортом материала от нижней границы к верхней получается при $k = 0$. Знаки радиальной проекции компоненты $_0 \mathbf{v}_{4,2}^P$ и некоторые ее линии тока приведены на рис. 2. Линейными комбинациями двух таких мод можно обеспечить любой фазовый сдвиг 12-зонной картины по углу φ . Поскольку выбор начала отсчета угла φ произволен, можно ограничиться только модой $_0 \mathbf{v}_{4,2}^P$.

Чтобы учесть кориолисов снос основной компоненты скорости, направление $\mathbf{e}_z \times _0 \mathbf{v}_{4,2}^P$ действующей на нее силы Кориолиса аппроксимировалось другими компонентами скорости. В качестве критерия приближения использовалась минимизация невязки

$$\sum_{k,n,m} \left({}_k q_{nm} {}_k \mathbf{v}_{nm}^T + {}_k s_{nm} {}_k \mathbf{v}_{nm}^P \right) - \mathbf{e}_z \times _0 \mathbf{v}_{4,2}^P$$

в метрике скалярного произведения $\langle \mathbf{P}, \mathbf{Q} \rangle = \int (\mathbf{P} \mathbf{Q}) dV$, где интегрирование ведется по объему жидкого ядра. Результаты расчетов показали, что отличными от нуля являются только коэффициенты ${}_k q_{3,2}$, ${}_k q_{5,2}$ и ${}_0 s_{4,-2}$. Представим выражение $\mathbf{e}_z \times {}_k \mathbf{v}_{4,2}^P$ в порядке убывания коэффициентов:

$$\mathbf{e}_z \times {}_k \mathbf{v}_{4,2}^P \approx 0.41 {}_0 \mathbf{v}_{5,2}^T - 0.34 {}_1 \mathbf{v}_{3,2}^T - 0.25 {}_0 \mathbf{v}_{3,2}^T - 0.17 {}_1 \mathbf{v}_{5,2}^T - 0.1 {}_0 \mathbf{v}_{4,-2}^P - 0.06 {}_2 \mathbf{v}_{5,2}^T + 0.04 {}_2 \mathbf{v}_{3,2}^T + \dots$$

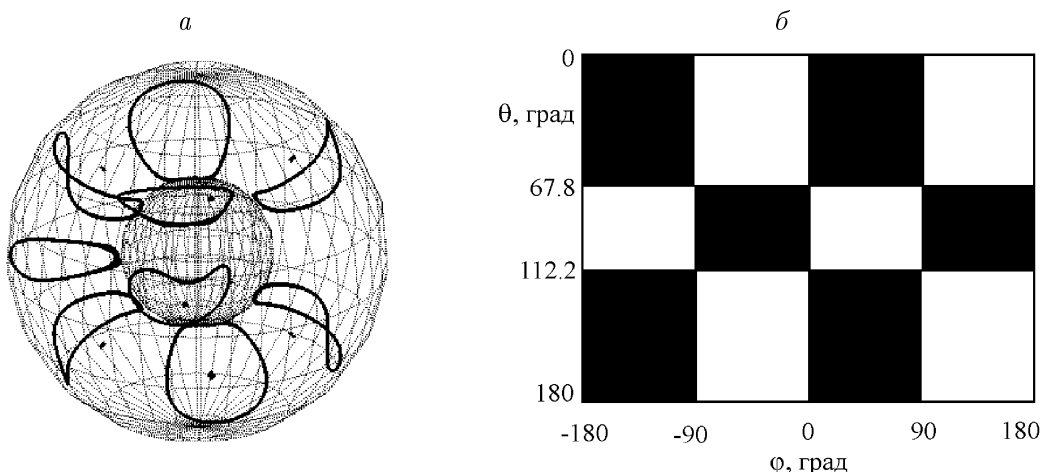


Рис. 2. Линии тока моды ${}_0 \mathbf{v}_{4,2}^P$ (a) и ее радиальная компонента (б). Чёрный цвет — течение снизу вверх, белый — сверху вниз

С учетом этого разложения для аппроксимации кориолисова сноса основной моды скорости в модели использовались две торoidalные компоненты ${}_0\mathbf{v}_{5,2}^T$ и ${}_1\mathbf{v}_{3,2}^T$.

Для представления температуры были оставлены две моды: ${}_1\Theta_{0,0}$ и ${}_0\Theta_{4,2}$. Первая дает равномерное отклонение по радиусу от стационарного профиля (используется по аналогии с моделью Лоренца маломодовой конвекции в плоском слое [7]), вторая “запускает” основную конвективную моду ${}_0\mathbf{v}_{4,2}^P$.

Магнитное поле представим модами ${}_0\mathbf{B}_{1,0}^P$, ${}_0\mathbf{B}_{1,\pm 1}^P$, описывающими дипольную часть, а также пространственно (по индексам) связанными с компонентами скорости модами ${}_0\mathbf{B}_{5,\pm 2}^T$, ${}_0\mathbf{B}_{5,\pm 2}^P$, ${}_0\mathbf{B}_{3,\pm 2}^T$, ${}_0\mathbf{B}_{3,\pm 2}^P$, ${}_0\mathbf{B}_{4,\pm 2}^T$, ${}_0\mathbf{B}_{4,\pm 2}^P$.

Таким образом, первоначально в модели будем использовать три компоненты скорости, две — температуры, 15 — магнитной индукции. В дальнейшем число магнитных мод можно сократить.

Для удобства в соответствии с табл. 1 перейдем к одноиндексным обозначениям.

Итак, принимаются разложения полей:

$$T = \alpha_0(t)\Theta_0 + \alpha_1(t)\Theta_1, \quad \mathbf{v} = \sum_{i=0}^2 \beta_i(t)\mathbf{v}_i, \quad \mathbf{B} = \sum_{i=0}^{14} \gamma_i(t)\mathbf{B}_i. \quad (14)$$

Собственные значения мод температуры, скорости и индукции обозначим соответственно через λ_i , μ_i , η_i .

Т а б л и ц а 1. Одноиндексные обозначения

Трехиндексные комбинации и типы полей			Один индекс
k	n	m	
<i>Моды температуры</i>			
1	0	0	0
0	4	2	1
<i>Моды скорости</i>			
1	3	2	tor
0	4	2	pol
0	5	2	tor
<i>Моды индукции</i>			
0	1	-1	pol
0	1	0	pol
0	1	1	pol
0	4	-2	tor
0	4	2	tor
0	4	-2	pol
0	4	2	pol
1	3	-2	tor
1	3	2	tor
1	3	-2	pol
1	3	2	pol
0	5	-2	tor
0	5	2	tor
1	5	-2	pol
0	5	2	pol

Разложения (14) подставим в систему (1), предварительно взяв в ней ротор третьего уравнения. Следуя идее метода Галеркина [8], получим квадратичную систему обыкновенных дифференциальных уравнений с постоянными коэффициентами для амплитуд $\alpha_i(t)$, $\beta_i(t)$, $\gamma_i(t)$:

$$\begin{aligned} \sum_{i=0}^2 A_i^k \frac{d\beta_i}{dt} &= \sum_{i,j=0}^3 B_{ij}^k \beta_i \beta_j - \sum_{i=0}^3 A_i^k \beta_i \mu_i + \text{RaPr}^{-1} \sum_{j=0}^1 C_j^k \alpha_j + \\ &+ \tau \sum_{i=0}^2 E_i^k \beta_i + \sum_{i,j=0}^{14} L_{i,j}^k \gamma_i \gamma_j, \quad k = 0, 1, 2, \\ \frac{d\alpha_s}{dt} &= \sum_{i,j=0}^{2,1} F_{ij}^s \beta_i \alpha_j + \sum_{i=0}^2 H_i^s \beta_i - \text{Pr}^{-1} \lambda_s \alpha_s, \quad s = 0, 1, \\ lr \sum_{i=0}^{14} Q_i^l \frac{d\gamma_i}{dt} &= \sum_{i,j=0}^{2,14} W_{ij}^l \beta_i \gamma_j - q^{-1} \text{Pr}^{-1} \sum_{i=0}^{14} Q_i^l \eta_i \gamma_i, \quad l = 0, \dots, 14. \end{aligned} \quad (15)$$

Здесь $A_i^k = \langle \text{rotv}_k, \text{rotv}_i \rangle$, $B_{ij}^k = \langle \text{rotv}_k, \text{rot}(\mathbf{v}_i \times \text{rotv}_j) \rangle$, $C_j^k = \langle \text{rotv}_k, \text{rot}(T_j r \mathbf{e}_r / r_2) \rangle$, $E_j^k = -\langle \text{rotv}_k, \text{rot}(e_z \times \mathbf{v}_i) \rangle$, $L_{ij}^k = \langle \text{rotv}_k, \text{rot}(\text{rotB}_i \times \mathbf{B}_j) \rangle$, $F_{ij}^s = -\langle \Theta_s, (\mathbf{v}_i \nabla) \Theta_j \rangle$, $H_i^s = \langle \Theta_s, (\mathbf{v}_i)_r (r_1 r_2 / r^2) \rangle$, $Q_i^l = \langle \text{rotB}_l, \text{rotB}_i \rangle$, $W_{ij}^l = \langle \text{rotB}_l, \text{rot rot}(\mathbf{v}_i \times \mathbf{B}_l) \rangle$. Все эти скалярные произведения являются интегралами по объему либо всего ядра (коэффициенты Q_i^l), либо жидкого ядра (все остальные коэффициенты) от известных базисных полей. Они были вычислены в системе MAPLE 12, причем аналитическое интегрирование по θ и φ показало, что многие коэффициенты нулевые. В частности, равны нулю все коэффициенты W_{ij}^l для $l = 0, 2, 5, \dots, 8, 11, 12$, а матрицы с элементами A_i^k и Q_i^l — диагональные. Тогда из системы (15) видно, что амплитуды магнитных мод \mathbf{B}_l при вышеупомянутых l экспоненциально затухают и эти моды можно отбросить. Таким образом, окончательно в модели оставляем только семь магнитных мод. Система (15) теперь преобразуется к следующему виду:

$$\begin{aligned} A_0^0 \frac{d\beta_0}{dt} &= -A_0^0 \mu_0 \beta_0 + \tau E_1^0 \beta_1 + L_{4,1}^0 \gamma_1 \gamma_4 + (L_{1,9}^0 + L_{9,1}^0) \gamma_1 \gamma_9, \\ A_1^1 \frac{d\beta_1}{dt} &= -A_1^1 \mu_1 \beta_1 + \frac{\text{Ra}}{\text{Pr}} C_1^1 \alpha_1 + \tau (E_0^1 \beta_0 + E_2^1 \beta_2) + (L_{1,3}^1 + L_{3,1}^1) \gamma_1 \gamma_3 + \\ &+ (L_{1,10}^1 + L_{10,1}^1) \gamma_1 \gamma_{10} + (L_{1,14}^1 + L_{14,1}^1) \gamma_1 \gamma_{14}, \\ A_2^2 \frac{d\beta_2}{dt} &= -A_2^2 \mu_2 \beta_2 + \tau E_1^2 \beta_1 + L_{4,1}^2 \gamma_1 \gamma_4 + (L_{1,13}^2 + L_{13,1}^2) \gamma_1 \gamma_{13}, \\ \frac{d\alpha_0}{dt} &= F_{1,1}^0 \beta_1 \alpha_1 + \text{Pr}^{-1} \lambda_0 \alpha_0, \\ \frac{d\alpha_1}{dt} &= F_{1,0}^1 \beta_1 \alpha_0 + H_1^1 \beta_1 - \text{Pr}^{-1} \lambda_1 \alpha_1, \\ Q_1^1 \frac{d\gamma_1}{dt} &= W_{0,9}^1 \beta_0 \gamma_9 + W_{1,3}^1 \beta_1 \gamma_3 + W_{1,10}^1 \beta_1 \gamma_{10} + W_{1,14}^1 \beta_1 \gamma_{14} + \\ &+ W_{2,13}^1 \beta_2 \gamma_{13} - q^{-1} \text{Pr}^{-1} Q_1^1 \eta_1 \gamma_1, \\ Q_3^3 \frac{d\gamma_3}{dt} &= W_{1,1}^3 \beta_1 \gamma_1 - q^{-1} \text{Pr}^{-1} Q_3^3 \eta_3 \gamma_3, \end{aligned}$$

$$\begin{aligned}
Q_4^4 \frac{d\gamma_4}{dt} &= W_{2,1}^4 \beta_2 \gamma_1 + W_{0,1}^4 \beta_0 \gamma_1 - q^{-1} \text{Pr}^{-1} Q_4^4 \eta_4 \gamma_4, \\
Q_9^9 \frac{d\gamma_9}{dt} &= W_{0,1}^9 \beta_0 \gamma_1 - q^{-1} \text{Pr}^{-1} Q_9^9 \eta_9 \gamma_9, \\
Q_{10}^{10} \frac{d\gamma_{10}}{dt} &= W_{1,1}^{10} \beta_1 \gamma_1 - q^{-1} \text{Pr}^{-1} Q_{10}^{10} \eta_{10} \gamma_{10}, \\
Q_{13}^{13} \frac{d\gamma_{13}}{dt} &= W_{2,1}^{13} \beta_2 \gamma_1 - q^{-1} \text{Pr}^{-1} Q_{13}^{13} \eta_{13} \gamma_{13}, \\
Q_{14}^{14} \frac{d\gamma_{14}}{dt} &= W_{1,1}^{14} \beta_1 \gamma_1 - q^{-1} \text{Pr}^{-1} Q_{14}^{14} \eta_{14} \gamma_{14}. \tag{16}
\end{aligned}$$

Примем следующие значения для параметров земного ядра [9]: $\nu = 10^{-6}$ м²/с, $\nu_m = 10^{-6}$ м²/с, $k = 10^{-5}$ м²/с, $\delta T = 10^3$ К, $\beta = 10^{-4}$ К⁻¹, $g_2 = 7$ м/с². Известно также, что $h = 2.1 \cdot 10^6$ м, $\Omega = 7.3 \cdot 10^{-6}$ рад/с, $r_1 = 1391$ км.

Система (16) при любых значениях управляющих параметров имеет нулевую точку покоя, соответствующую отсутствию конвекции и магнитного поля. При вычислении ненулевых точек покоя учтем, что система (2) обладает симметрией относительно замены знака магнитного поля, а система (16) обладает симметрией относительно смены знаков амплитуд скоростных мод и температурной амплитуды α_1 при сохранении знака α_0 . Эта вторая симметрия специфична для рассматриваемой маломодовой модели.

Численно, с использованием пакета MAPLE 12, были найдены три несимметричные ненулевые точки покоя. Координаты β_1 и γ_1 этих точек, определяющих характерные скорость конвекции и интенсивность основного диполя, приведены в табл. 2. С учетом вышеуказанных симметрий первая точка таблицы расщепляется на две, а каждая из двух оставшихся — на четыре. Первая точка соответствует непроводящему материалу ядра, т. е. в контексте настоящей работы интереса не представляет.

Пересчитывая безразмерную скорость в систему Си, получим, что $\beta_1 = 2.46 \cdot 10^8 \sim 10^{-4}$ м/с, $\beta_1 = 2.77 \cdot 10^7 \sim 10^{-5}$ м/с. Имеющиеся оценки реальной характерной скорости конвекции дают значения порядка 10⁻⁴ м/с [5].

Вне ядра дипольной моде $\mathbf{B}_1 = {}_0\mathbf{B}_{1,0}^P$ соответствует безразмерная компонента потенциала $R_{01}^P(r_2) \left(\frac{r}{r_2}\right)^{-2} Y_1^0$, которая на поверхности Земли имеет вид $2.93 \cdot 10^{-2} \cos \theta$. Тогда стационарным амплитудам будут соответствовать значения потенциала $2.01 \cdot 10^{10} \cos \theta$ и $1.76 \cdot 10^{11} \cos \theta$. Аналогичная безразмерная компонента потенциала в модели IGRF [10] для поверхности Земли равна в безразмерном виде $1.53 \cdot 10^9 \cos \theta$.

Таким образом, точки покоя с координатами $\beta_1 = \pm 2.46 \cdot 10^8$, $\gamma_1 = -6.87 \cdot 10^{11}$ дают стационарные решения модели, совпадающие по порядку величин с имеющимися оценками скорости конвекции и на порядок отличающиеся от наблюдаемой величины основного диполя. Учитывая большую неопределенность в оценках таких параметров ядра как коэффициенты температуропроводности, объемного расширения и особенно

Т а б л и ц а 2

Номер точки покоя	β_1	γ_1
1	$1.54 \cdot 10^2$	0
2	$2.46 \cdot 10^8$	$6.87 \cdot 10^{11}$
3	$2.77 \cdot 10^7$	$6.02 \cdot 10^{12}$

вязкости, можно говорить, что эти точки покоя дают стационарные режимы, близкие к наблюдаемым.

Заключение

В настоящей работе предложена и изучена маломодовая модель геодинамо. В основу модели положено предположение о пространственной структуре крупномасштабной конвекции, отражающей распределение плотности вещества в жидким ядре Земли, полученное по данным о расщеплениях сферических мод собственных колебаний Земли.

Магнитное поле представлено вертикальным диполем и шестью модами, структурно связанными с гидродинамическими токами. При принятых в теории геодинамо значениях физических параметров ядра в модели возможны восемь стационарных режимов магнитогидродинамической конвекции. Эти режимы разбиваются на две группы, в пределах каждой из которых различие точек выражает симметрию модели. Показано, что режимы одной из групп дают характерные скорости конвекции и величину дипольной компоненты магнитного поля на поверхности Земли, близкие по порядку величин к наблюдаемым.

Список литературы

- [1] KONO M., ROBERTS P.H. Recent geodynamo simulations and observations of the field // Rev. Geophysics. 2002. Vol. 40, No. 10. P. B1–B41.
- [2] JONES C.A. Convection-driven geodynamo models // Phil. Trans. R. Soc. Lond. A. 2000. Vol. 358. P. 873–897.
- [3] КУЗНЕЦОВ В.В. Анизотропия свойств внутреннего ядра Земли // Успехи физ. наук. 1997. Т. 169, № 9. С. 1001–1012.
- [4] ВОДИНЧАР Г.М., ШЕВЦОВ Б.М. Маломодовая модель конвекции во вращающемся шаровом слое вязкой жидкости // Вычисл. технологии. 2009. Т. 14, № 4. С. 3–15.
- [5] ГОЛИЦЫН Г.С. Режимы конвекции на различных вращающихся геофизических и астрофизических объектах // Изв. АН СССР. Физика атмосферы и океана. 1991. Т. 27, № 1. С. 20–31.
- [6] ТИХОНОВ А.Н., САМАРСКИЙ А.А. Уравнения математической физики. М.: Наука, 1977. 735 с.
- [7] ЗАСЛАВСКИЙ Г.М., САГДЕЕВ Р.З. Введение в нелинейную физику: От маятника до турбулентности и хаоса. М.: Наука, 1988. 368 с.
- [8] ЛАДЫЖЕНСКАЯ О.А. Математические вопросы динамики вязкой несжимаемой жидкости. М.: Наука, 1970. 232 с.
- [9] MERRIL R.T., MC ELHINNY M.W., MCFADDEN P.L. The Magnetic Field of the Earth. N.Y.: Acad. Press, 1996. 532 p.
- [10] INTERNATIONAL Geomagnetic Reference Field.
<http://www.ngdc.noaa.gov/IAGA/vmod/igrf.html>